

# Formfaktoren des semileptonischen $D \rightarrow Kl\nu$ Zerfalls

Dimitrios Skodras

Lehrstuhl für Theoretische Physik IV  
Technische Universität Dortmund

03.09.2014

# Gliederung

- 1 Der Zerfall
- 2 Fermis Goldene Regel
  - Differentielle Zerfallsbreite  $d\Gamma$
  - Phasenraumvolumen  $d\Phi$
  - Matrixelement  $M$
- 3 Teilchenströme
  - Dirac-Gleichung
  - 4-Fermionen-Wechselwirkung
- 4 Formfaktoren
  - Axialvektorformfaktoren und  $f_-$
  - Formfaktor  $f_+$
- 5 Resultate für  $f_+$
- 6 Ausblick

# Standardmodell

- 1 Der Zerfall
- 2 Fermis Goldene Regel
  - Differentielle Zerfallsbreite  $d\Gamma$
  - Phasenraumvolumen  $d\Phi$
  - Matrixelement  $M$
- 3 Teilchenströme
  - Dirac-Gleichung
  - 4-Fermionen-Wechselwirkung
- 4 Formfaktoren
  - Axialvektorformfaktoren und  $f_-$
  - Formfaktor  $f_+$
- 5 Resultate für  $f_+$
- 6 Ausblick

# Zerfallsbreite

# Ergebnis der differentiellen Zerfallsbreite

# Phasenraumvolumen

# Matrixelement



- 1 Der Zerfall
- 2 Fermis Goldene Regel
  - Differentielle Zerfallsbreite  $d\Gamma$
  - Phasenraumvolumen  $d\Phi$
  - Matrixelement  $M$
- 3 **Teilchenströme**
  - Dirac-Gleichung
  - 4-Fermionen-Wechselwirkung
- 4 Formfaktoren
  - Axialvektorformfaktoren und  $f_-$
  - Formfaktor  $f_+$
- 5 Resultate für  $f_+$
- 6 Ausblick

# Dirac-Gleichung

# Dirac-Gleichung

- Lorentzinvariant

# Dirac-Gleichung

- Lorentzinvariant
- Für Spin  $1/2$  -Teilchen

# Dirac-Gleichung

- Lorentzinvariant
- Für Spin  $1/2$  -Teilchen
- Besitzt positiv definite Wahrscheinlichkeitsdichte  $j^0$

# Dirac-Gleichung

- Lorentzinvariant
- Für Spin  $1/2$  -Teilchen
- Besitzt positiv definite Wahrscheinlichkeitsdichte  $j^0$

Dirac-Gleichung:

$$(i\gamma_\mu\partial^\mu - m)\psi = (i\not{\partial} - m)\psi = (\not{p} - m)\psi = 0$$

Dirac-Matrix  $\gamma^\mu$ ,  
Dirac-Wellenfunktion  $\psi$ ,  
Dirac-Spinoren  $u, v$

# Dirac-Strom $j^\mu$

## Dirac-Strom $j^\mu$

- Beschreibt Wahrscheinlichkeitsstrom eines propagierenden Teilchens



## Dirac-Strom $j^\mu$

- Beschreibt Wahrscheinlichkeitsstrom eines propagierenden Teilchens
- Strom genügt Kontinuitätsgleichung  $\partial_\mu j^\mu = 0$

## Dirac-Strom $j^\mu$

- Beschreibt Wahrscheinlichkeitsstrom eines propagierenden Teilchens
- Strom genügt Kontinuitätsgleichung  $\partial_\mu j^\mu = 0$

$$j^\mu = \bar{\psi} \gamma^\mu \psi.$$

# Rechtfertigung

# Strom-Strom-Kopplung

## Strom-Strom-Kopplung

- Ströme haben diverses Verhalten unter Lorentz-Transformationen (S, P, V, A, T)

## Strom-Strom-Kopplung

- Ströme haben diverses Verhalten unter Lorentz-Transformationen (S, P, V, A, T)
- Experimente erfordern **Paritätsverletzung** (Schwache WW koppelt an linkshändige Teilchen und rechtshändige Antiteilchen)

## Strom-Strom-Kopplung

- Ströme haben diverses Verhalten unter Lorentz-Transformationen (S, P, V, A, T)
- Experimente erfordern **Paritätsverletzung** (Schwache WW koppelt an linkshändige Teilchen und rechtshändige Antiteilchen)
- Dies erfordert pseudoskalaren, also kontrahierten  $\mathcal{H}$   
→ Vektorstrom-Axialvektorstrom-Kopplung (V-A)

## Strom-Strom-Kopplung

- Ströme haben diverses Verhalten unter Lorentz-Transformationen (S, P, V, A, T)
- Experimente erfordern **Paritätsverletzung** (Schwache WW koppelt an linkshändige Teilchen und rechtshändige Antiteilchen)
- Dies erfordert pseudoskalaren, also kontrahierten  $\mathcal{H}$   
→ Vektorstrom-Axialvektorstrom-Kopplung (V-A)
- Projektionsoperator  $P = (1 - \gamma_5)$  extrahiert linkshändige Komponente der Spinoren



## Strom-Strom-Kopplung

- Ströme haben diverses Verhalten unter Lorentz-Transformationen (S, P, V, A, T)
- Experimente erfordern **Paritätsverletzung** (Schwache WW koppelt an linkshändige Teilchen und rechtshändige Antiteilchen)
- Dies erfordert pseudoskalaren, also kontrahierten  $\mathcal{H}$   
→ Vektorstrom-Axialvektorstrom-Kopplung (V-A)
- Projektionsoperator  $P = (1 - \gamma_5)$  extrahiert linkshändige Komponente der Spinoren  
→ Dirac-Strom wird um Axialvektorstromanteil erweitert:

$$j^\mu = \bar{\psi} \gamma^\mu (1 - \gamma_5) \psi$$

# CKM-Matrix $V_{\text{CKM}}$

$$V_{\text{CKM}} = \begin{pmatrix} 1 - \frac{1}{2}\lambda^2 & \lambda & \lambda^3 A(\rho - i\eta) \\ -\lambda & 1 - \frac{1}{2}\lambda^2 & \lambda^2 A \\ \lambda^3 A(1 - \rho - i\eta) & -\lambda^2 A & 1 \end{pmatrix} + \mathcal{O}(\lambda^4)$$

- $V_{\text{CKM}}$  enthält nun komplexe Phase zur Erklärung der CP-Verletzung
- und drei Eulerwinkel  $\theta_{12} = \theta_c$ ,  $\theta_{13}$  und  $\theta_{23}$

$$\lambda = \sin \theta_{12} \approx 0,2 ,$$

$$A\lambda^2 = \sin \theta_{23},$$

$$A\lambda^3(\rho - i\eta) = \sin \theta_{13} e^{-i\phi}$$

## CKM-Matrix $V_{\text{CKM}}$

- Schwache WW ändert Flavourquantenzahlen und **verletzt CP**

$$V_{\text{CKM}} = \begin{pmatrix} 1 - \frac{1}{2}\lambda^2 & \lambda & \lambda^3 A(\rho - i\eta) \\ -\lambda & 1 - \frac{1}{2}\lambda^2 & \lambda^2 A \\ \lambda^3 A(1 - \rho - i\eta) & -\lambda^2 A & 1 \end{pmatrix} + \mathcal{O}(\lambda^4)$$

- $V_{\text{CKM}}$  enthält nun komplexe Phase zur Erklärung der CP-Verletzung
- und drei Eulerwinkel  $\theta_{12} = \theta_c$ ,  $\theta_{13}$  und  $\theta_{23}$

$$\lambda = \sin \theta_{12} \approx 0,2,$$

$$A\lambda^2 = \sin \theta_{23},$$

$$A\lambda^3(\rho - i\eta) = \sin \theta_{13} e^{-i\phi}$$

## CKM-Matrix $V_{\text{CKM}}$

- Schwache WW ändert Flavourquantenzahlen und **verletzt CP**
- Ausdruck für Übergangswahrscheinlichkeit von Quarks in Form

$$V_{\text{CKM}} = \begin{pmatrix} 1 - \frac{1}{2}\lambda^2 & \lambda & \lambda^3 A(\rho - i\eta) \\ -\lambda & 1 - \frac{1}{2}\lambda^2 & \lambda^2 A \\ \lambda^3 A(1 - \rho - i\eta) & -\lambda^2 A & 1 \end{pmatrix} + \mathcal{O}(\lambda^4)$$

- $V_{\text{CKM}}$  enthält nun komplexe Phase zur Erklärung der CP-Verletzung
- und drei Eulerwinkel  $\theta_{12} = \theta_c$ ,  $\theta_{13}$  und  $\theta_{23}$

$$\lambda = \sin \theta_{12} \approx 0,2 ,$$

$$A\lambda^2 = \sin \theta_{23},$$

$$A\lambda^3(\rho - i\eta) = \sin \theta_{13} e^{-i\phi}$$

- 1 Der Zerfall
- 2 Fermis Goldene Regel
  - Differentielle Zerfallsbreite  $d\Gamma$
  - Phasenraumvolumen  $d\Phi$
  - Matrixelement  $M$
- 3 Teilchenströme
  - Dirac-Gleichung
  - 4-Fermionen-Wechselwirkung
- 4 Formfaktoren**
  - Axialvektorformfaktoren und  $f_-$
  - Formfaktor  $f_+$
- 5 Resultate für  $f_+$
- 6 Ausblick

## Motivation

- Fermi-Wechselwirkung berücksichtigt die starke WW zwischen  $c$  und  $\bar{q}_1$  nicht
  - gilt aber für Leptonenstrom
  - Hadronenstrom durch Formfaktoren darstellen
- Formfaktoren sind einheitenlose Größen, die theoretisch unzugängliche Einflüsse enthalten (sollen berechnet werden)
- Viererimpulse  $p_D$  und  $p_K$  sind einzige Freiheitsgrade und müssen zur Darstellung ausreichen
- Da QCD Parität erhält, müssen Formfaktorausdrücke dasselbe Transformationsverhalten unter Parität haben, wie  $V$  bzw.  $A$ .

## Axialvektorformfaktoren

- Eigenwerte der Parität  $\mathcal{P}$  sind  $\pi = \pm 1$  und multiplikativ, da diskrete Symmetrie
- Vektoren und Pseudoskalare transformieren mit  $\pi = -1$ , Axialvektoren mit  $\pi = +1$

$$\mathcal{P} \langle \bar{K}^0 | V^\mu | D^+ \rangle = (-1) \cdot (-1) \cdot (-1) = -1$$

$$\mathcal{P} \langle \bar{K}^0 | A^\mu | D^+ \rangle = (-1) \cdot (+1) \cdot (-1) = +1.$$

- Keine Kombination aus  $p_D^\mu$ ,  $p_K^\mu$  und  $\epsilon^{\mu\nu\alpha\beta}$  transformiert mit  $\pi = +1$ 
  - $\langle K(p_K) | A^\mu | D(p_D) \rangle = 0$
  - Keine Axialvektorformfaktoren!

Levi-Civita-Tensor  $\epsilon^{\mu\nu\alpha\beta}$

## Vektorformfaktoren

Viererimpulse selbst transformieren unter Parität wie Vektoren

→ Allgemeine Darstellung durch zwei Formfaktoren  $f_+$ ,  $f_-$ :

$$\langle K(p_K) | V^\mu | D(p_D) \rangle = f_+(q^2)(p_D + p_K)^\mu + f_-(q^2)(p_D - p_K)^\mu.$$



## Formfaktor $f_-$

Betrachtung von  $M_-$  nur mit  $f_-$ :

$$\begin{aligned}
 M_- &= \frac{G_F V_{cs}}{\sqrt{2}} f_-(q^2) (p_D - p_K)^\mu \bar{u}_\nu \gamma_\mu (1 - \gamma_5) v_l \\
 &= \frac{G_F V_{cs}}{\sqrt{2}} f_-(q^2) (k_\nu + k_l)^\mu \bar{u}_\nu \gamma_\mu (1 - \gamma_5) v_l \\
 &= \frac{G_F V_{cs}}{\sqrt{2}} f_-(q^2) \bar{u}_\nu (\not{k}_\nu + \not{k}_l) (1 - \gamma_5) v_l \\
 &\stackrel{(\text{??})}{=} \frac{G_F V_{cs}}{\sqrt{2}} f_-(q^2) \bar{u}_\nu (m_\nu + m_l) (1 - \gamma_5) v_l.
 \end{aligned}$$

Die Leptonmassen sind für  $l = e, \mu$  verglichen mit  $m_D$  vernachlässigbar

→  $f_-$  liefert ebenfalls keinen Beitrag!

++link zu Matrixelement II++

## Kinematische Grenzen

Aus der Viererimpulserhaltung ergeben sich die Grenzen für  $q^2$ , die den Bereich für den Fit von  $f_+$  angeben:

$$p_D^\mu = p_K^\mu + p_l^\mu + p_\nu^\mu$$

$$p_D^\mu - p_K^\mu = q^\mu = p_l^\mu + p_\nu^\mu$$

$$(p_D^\mu - p_K^\mu)^2 = q^2 = (p_l^\mu + p_\nu^\mu)^2$$

$$m_D^2 + m_K^2 - 2m_D E_K = q^2 = m_l^2 + m_\nu^2 + E_l E_\nu - |\vec{p}_l| |\vec{p}_\nu| \cos(\xi).$$

Hieraus ergeben sich bei abermals vernachlässigbaren Leptonenmassen ( $E = |\vec{p}|$ ) die Bereichsgrenzen zu

$$0 \leq q^2 \leq (m_D - m_K)^2.$$

Leptonenzwischenwinkel  $\xi$

# Parametrisierung

- $d\Gamma \propto |f_+(q^2)|^2 dq^2$
- Bei bestimmten Energien divergiert  $\Gamma$ 
  - Pol-Verhalten um  $q^2 = m_{D^*}^2$  (außerhalb des phys. rel. Bereichs)
- Parametrisierung durch Pol und Polynomreihe in  $z$  mit  $|z| \stackrel{!}{<} 1$ 
  - Gutes Konvergenzverhalten

## Parametrisierung

Eine Parametrisierung für  $f_+$  mit diesen Eigenschaften lautet:

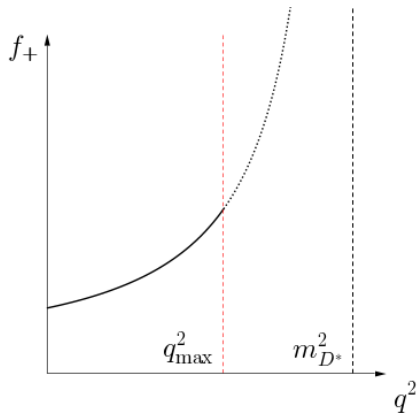
$$f_+(q^2) = \frac{1}{1 - \frac{q^2}{m_{D^*}^2}} \sum_{i=0}^{\infty} a_i z^i(t_0, q^2)$$

$$z(t_0, q^2) = \frac{\sqrt{t_+ - q^2} - \sqrt{t_+ - t_0}}{\sqrt{t_+ - q^2} + \sqrt{t_+ - t_0}}$$

Wahl für  $t_0 =$

$t_{\text{opt}} = t_+(1 - \sqrt{1 - t_-/t_+})$  minimiert Maximalwert von  $|z|$ .

$t_{\pm} = (m_D \pm m_K)^2$ ,  
wählbares  $t_0$ :  $0 \leq t_0 < t_+$



# Methode der kleinsten Quadrate

- Fitfunktionen weisen Abweichungen von Messwerten auf
- Die quadrierten Abweichungen werden aufsummiert als  $\chi^2$  bezeichnet
  - Fitparameter werden variiert, bis  $\chi^2$  minimal ist

Die hier verwandte  $\chi^2$ -Funktion lautet

$$\chi^2 = \sum_{i,j=1}^m (\Delta\Gamma_i - g_i(f_+)) C_{ij}^{-1} (\Delta\Gamma_j - g_j(f_+))$$

und wird durch ein Python-Skript unter Verwendung des Minimierungsmoduls Minuit vom CERN minimiert.

# Methode der kleinsten Quadrate

$$\chi^2 = \sum_{i,j=1}^m (\Delta\Gamma_i - g_i(f_+)) C_{ij}^{-1} (\Delta\Gamma_j - g_j(f_+))$$

- Anzahl diskreter Intervalle  $m$
- experimentell erfasste Daten  $\Delta\Gamma$
- theoretische Werte  $g = \frac{G_F^2 |V_{cs}|^2}{24\pi^3} \int |p_K(q_i^2)|^3 \cdot |f_+(q_i^2)|^2 dq_i^2$
- Kovarianzmatrix  $C = C^{\text{stat}} + C^{\text{sys}}$ ;  $C_{ij}^\alpha = \sigma_i^\alpha \sigma_j^\alpha \cdot \rho_{ij}^\alpha$   
 $\alpha = \text{stat, sys}$ ; Varianzen  $\sigma$ ; Korrelationsmatrix  $\rho$

- 1 Der Zerfall
- 2 Fermis Goldene Regel
  - Differentielle Zerfallsbreite  $d\Gamma$
  - Phasenraumvolumen  $d\Phi$
  - Matrixelement  $M$
- 3 Teilchenströme
  - Dirac-Gleichung
  - 4-Fermionen-Wechselwirkung
- 4 Formfaktoren
  - Axialvektorformfaktoren und  $f_-$
  - Formfaktor  $f_+$
- 5 Resultate für  $f_+$**
- 6 Ausblick

# Vorbereitung

einleitung



## Variation in $t_0$

fitresultate direkt mit angeben?

## Variation in $\mathcal{O}$

fitresultate direkt mit angeben?

- 1 Der Zerfall
- 2 Fermis Goldene Regel
  - Differentielle Zerfallsbreite  $d\Gamma$
  - Phasenraumvolumen  $d\Phi$
  - Matrixelement  $M$
- 3 Teilchenströme
  - Dirac-Gleichung
  - 4-Fermionen-Wechselwirkung
- 4 Formfaktoren
  - Axialvektorformfaktoren und  $f_-$
  - Formfaktor  $f_+$
- 5 Resultate für  $f_+$
- 6 **Ausblick**

# Ausblick

# Bonus

## Bonusfolien